

Angewandte EarlyView®

Die folgenden Artikel sind bisher nur online (in Wiley InterScience) verfügbar, und zwar unter www.angewandte.de, Volltext, Early View.

G. Höfner, K. T. Wanner*:

Kompetitive Bindungsstudien leicht gemacht – mit nativem Marker und massenspektrometrischer Quantifizierung

DOI: 10.1002/ange.200351806

Online veröffentlicht: 1. September 2003

D. G. Shchukin, G. B. Sukhorukov,* H. Möhwald:

Smart Inorganic/Organic Nanocomposite Hollow Microcapsules

DOI: 10.1002/ange.200352068

Online veröffentlicht: 1. September 2003

S. Ahlert, W. Klein, O. Jepsen, O. Gunnarsson, O. K. Andersen, M. Jansen*:

$\text{Ag}_{13}\text{OsO}_6$: A Silver Oxide with Interconnected Icosahedral Ag_{13}^{4+} Clusters and Dispersed $[\text{OsO}_6]^{4-}$ Octahedra

DOI: 10.1002/ange.200351740

Online veröffentlicht: 1. September 2003

G. Dyker,* D. Hildebrandt, J. Liu, K. Merz:

Gold(III)chlorid-katalysierte Dominoprozesse mit intermediären Isobenzopyrylium-Kationen

DOI: 10.1002/ange.200352160

Online veröffentlicht: 1. September 2003

V. S. Iyer, K. P. C. Vollhardt,* R. Wilhelm:

Near-Quantitative Solid-State Synthesis of Carbon Nanotubes from Homogeneous Diphenylethyne cobalt and -Nickel Complexes

DOI: 10.1002/ange.200352201

Online veröffentlicht: 1. September 2003

F. M. H. de Groot,* C. Albrecht, R. Koekkoek, P. H. Beusker, H. W. Scheeren:

„Cascade-Release Dendrimers“ Liberate All End Groups upon a Single Triggering Event in the Dendritic Core

DOI: 10.1002/ange.200351942

Online veröffentlicht: 1. September 2003

Beiträge, die von zwei Gutachtern oder der Redaktion als sehr wichtig oder sehr dringlich eingestuft werden, werden nach Erhalt der Endfassung umgehend redigiert, korrigiert und elektronisch publiziert. Solange keine Seitenzahlen für die Beiträge vorliegen, sollten sie wie folgt zitiert werden:

Autor(en), Angew. Chem., Online-Publikationsdatum, DOI.

Web Sites

<http://interscience.wiley.com> 4255 Ein neues Gesicht für Wiley InterScience M. Müller

Bücher

The Art of Chemistry 4257 Arthur Greenberg

rezensiert von H. Hopf

The Road to Stockholm 4258 István Hargittai

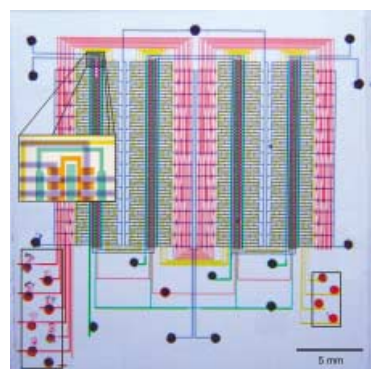
rezensiert von G. B. Kauffman,
L. M. Kauffman

Highlights

Mikrofluidsysteme

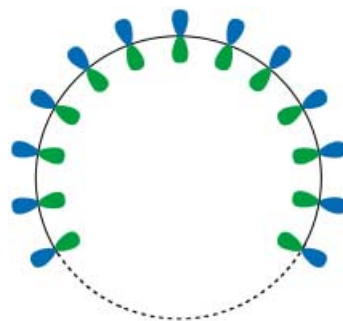
R. F. Ismagilov* 4262–4264

Integrierte Mikrofluidsysteme



Mikrochips: Große integrierte Mikrofluidschaltungen (siehe Bild) werden lithographisch aus Polydimethylsiloxan gefertigt. Solche Schaltungen, in die katalysatorbelagte Mikroporen eingebracht werden können, lassen sich unter anderem für simultane Reaktionen, enzymatische Assays und zum Screening von Kristallisationsbedingungen nutzen.

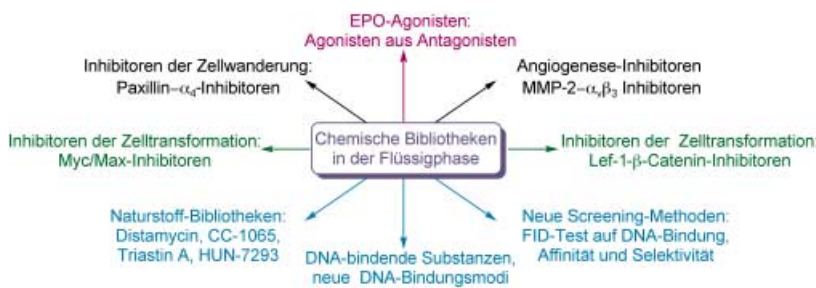
Unbeeindruckt von der Neigung trigonal koordinierter Kohlenstoffatome zu planaren Umgebungen haben Synthesechemiker kürzlich erfolgreich Makrocyclen mit nach innen gerichteten p-Orbitalen hergestellt (siehe Bild). Einzelne Metallionen sind zu klein, um den Hohlraum zu füllen, aber Fullerene passen genau in einige dieser elektronenreichen Wirte mit „π-Überzug“.



Konjugierte Gürtel

L. T. Scott* 4265–4267

Konjugierte Gürtel und Nanoringe mit radial orientierten p-Orbitalen



Harz oder nicht Harz? Diese Frage stellt sich beim Aufbau jeder Bibliothek. Im vorliegenden Aufsatz werden die jeweiligen Vorzüge der Synthese an der Festphase und in Lösung präsentiert und

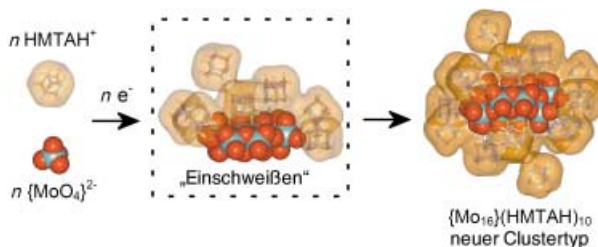
erörtert. Untersuchungen an Flüssigphasenbibliotheken zur Modulation von Protein-DNA- und Protein-Protein-Wechselwirkungen in der zellulären Signaltransduktion liefern die Beispiele.

Aufsätze

Screening von Bibliotheken

D. L. Boger,* J. Desharnais, K. Capps 4270–4309

Kombinatorische Flüssigphasensynthese von Bibliotheken: auf der Suche nach Modulatoren für Protein-Protein- und Protein-DNA-Wechselwirkungen in der zellulären Signaltransduktion



Der gemischvalente Polyoxomolybdatecluster $[H_2Mo^{VI}_{12}Mo^{V}_4O_{52}]^{10-}$ wurde durch einen neuartigen „Einschweiß“-Ansatz isoliert, mit dem Cluster niedriger Symmetrie und nichtsphärischer Topologie abgefangen werden (siehe Schema; HMTAH⁺=protoniertes Hexamethylen-

tetramin). Die ungewöhnliche Clusterform folgt daraus, dass eine Reorganisation des Clustergerüsts zu höher symmetrischen Strukturen verhindert wird. Dennoch bildet der Cluster Addukte mit Elektrophilen wie Fe^{II}.

Zuschriften

Kleine Polyoxomolybdate

D.-L. Long, P. Kögerler, L. J. Farrugia, L. Cronin* 4312–4315

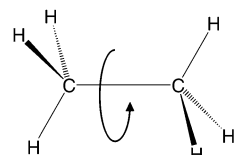
Restraining Symmetry in the Formation of Small Polyoxomolybdates: Building Blocks of Unprecedented Topology Resulting From „Shrink-Wrapping“ $[H_2Mo_{16}O_{52}]^{10-}$ -Type Clusters

Rotationsbarriere in Ethan (1)

F. M. Bickelhaupt,
E. J. Baerends* 4315–4320

The Case for Steric Repulsion Causing the Staggered Conformation of Ethane

Die Rotationsbarriere in Ethan (siehe Bild) gilt als prototypisches Beispiel für sterische Hinderung. Dem wurde kürzlich widersprochen: Stattdessen wurde Hyperkonjugation als zutreffende Begründung vorgebracht. Nach Ansicht der Autoren gibt es keinen Grund, die Erklärung durch sterische Abstoßung zu verlassen. Sie zeigen, warum unter-



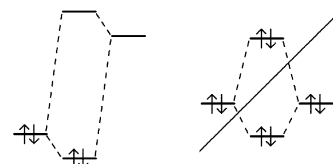
schiedliche Analysen der elektronischen Struktur zu unterschiedlichen Ergebnissen führen.

Rotationsbarriere in Ethan (2)

F. Weinhold* 4320–4326

Rebuttal to the Bickelhaupt–Baerends Case for Steric Repulsion Causing the Staggered Conformation of Ethane

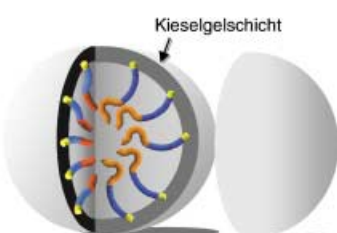
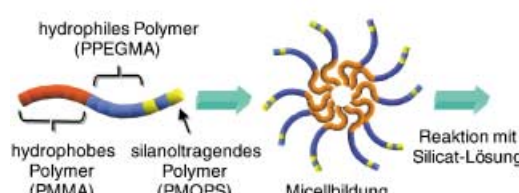
Zwei Konzepte der qualitativen MO-Theorie geben widersprechende Erklärungen für die Torsionsbarriere im Ethan, aber nur eine hält einer gründlichen Begutachtung stand (siehe Energieniveau-Schemata). Es zeigt sich, dass Bickelhaupts und Baerends' Plädoyer für das neo-sterische Konzept der „Vier-Elektronen-Destabilisierung“ (rechts) genau so illusorisch ist wie seine Vorgänger.



Organisch-anorganische Nanokapseln

K. Koh, K. Ohno, Y. Tsujii,
T. Fukuda* 4326–4329

Precision Synthesis of Organic/Inorganic Hybrid Nanocapsules with a Silanol-Functionalized Micelle Template



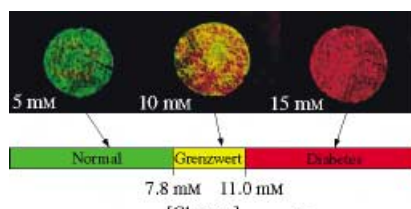
Wie die Schale einer Nuss: Ein amphiphiles Blockcopolymer mit geschützten Silanolgruppen wird durch Atomtransfer-Radikalpolymerisation aufgebaut. Die Makromoleküle bilden in wässriger

Lösung Micellen, auf deren Oberfläche sich nach Zugabe einer Natriumsilikat-Lösung eine Kieselgel-Schicht abscheidet. So entstehen neuartige organisch-anorganische Nanokapseln (siehe Schema).

Kolorimetrischer Glucose-Sensor

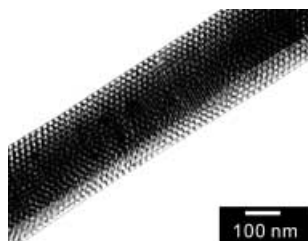
D. Nakayama, Y. Takeoka,* M. Watanabe,*
K. Kataoka 4329–4332

Simple and Precise Preparation of a Porous Gel for a Colorimetric Glucose Sensor by a Templating Technique



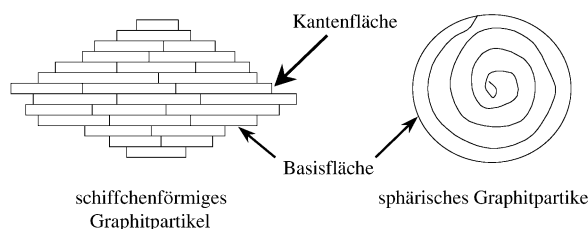
Alarmstufe Rot: Das richtige Quellungsverhältnis bei einer bestimmten Glucose-

konzentration ist entscheidend für die Synthese eines Glucose-empfindlichen Gels. Das gewünschte poröse Gel mit periodischer Ordnung erhält man durch Templatensynthese an einem dichtgepackten Kolloidkristall, der anschließend entfernt wird. Die Gele ändern ihre Farbe in Abhängigkeit von der Glukosekonzentration und können als Diabetes-Test eingesetzt werden (siehe Bild).



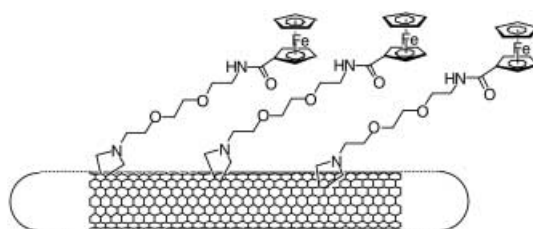
Kontrollierte Formgebung: Eindimensionales mesostrukturiertes Siliciumdioxid wird mithilfe von Aluminiumoxidmem-

branen aufgebaut. Die Benetzungseigenschaften der porösen Aluminiumoxid-schicht sind dabei entscheidend für die gezielte Herstellung von Nanofasern und Nanoröhren; die Konzentration eines Tensides bestimmt die Morphologie des mesostrukturierten Siliciumdioxids (siehe Bild). Durch Einlagerung funktioneller Substrate in Mesoporen und röhrenförmige Hohlräume können hierarchische Nanokomposite hergestellt werden.



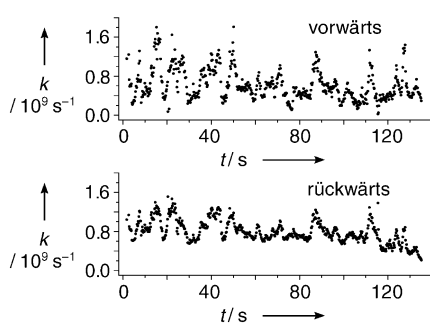
Eine bequeme Art der Energiespeicherung sind Lithium-Batterien, allerdings sind ihre Anoden aus natürlichem Graphit nicht vereinbar mit Elektrolyten auf Carbonat-Basis. Die Randflächen werden vom Elektrolyt angegriffen, wohingegen die Basisflächen inert bleiben. Durch

Anwendung einer neuen Technik erhält man sphärische Graphitpartikel, sodass die Grundfläche maximiert und die Randflächen minimiert werden (siehe Bild). Auf diese Weise wird nur eine kleine Menge Beschichtung benötigt, um den Graphitkern vor dem Elektrolyt zu schützen.



Der langlebige ladungsgetrennte Zustand in $\text{SWNT}^{--}\text{Fc}^{+}$ entsteht als Folge eines photoinduzierten Elektronentransfers im neuartigen einwandigen Kohlenstoff-nanoröhren-Ferrocen-Hybrid $\text{SWNT}-\text{Fc}$

(siehe Bild). Das Vorliegen von SWNT^{--} wurde durch Laser-Flashpyrolyse entdeckt und durch zeitauf lösende Pulsradiolyse sowie Steady-State-Elektrolyse bestätigt.



Hin und her: In Triphenylamin-Perylen-diimid-Donor-Acceptor-Dendrimeren schwanken die Geschwindigkeiten des intramolekularen Elektronentransfers in beide Richtungen (siehe Diagramm). Ein vergleichbares Verhalten wurde für den Vorwärts-Elektronentransfer in einigen großen Biomolekülen, jedoch noch nicht in synthetischen Verbindungen beobachtet. Der Effekt ist eine Folge von Konformationsänderungen im Dendrimer.

Mesostrukturiertes Siliciumdioxid

Z. Yang, Z. Niu, X. Cao, Z. Yang,* Y. Lu,*
Z. Hu, C. C. Han ————— 4333–4335

Template Synthesis of Uniform 1D Mesostructured Silica Materials and Their Arrays in Anodic Alumina Membranes

Anoden für Lithium-Batterien

M. Yoshio,* H. Wang,
K. Fukuda ————— 4335–4338

Spherical Carbon-Coated Natural Graphite as a Lithium-Ion Battery-Anode Material

Kohlenstoffnanoröhren mit Ferrocen

D. M. Guldi,* M. Marcaccio, D. Paolucci,
F. Paolucci,* N. Tagmatarchis, D. Tasis,
E. Vázquez, M. Prato* ————— 4338–4341

Single-Wall Carbon Nanotube–Ferrocene Nanohybrids: Observing Intramolecular Electron Transfer in Functionalized SWNTs

Einzelmolekül-Elektronentransfer

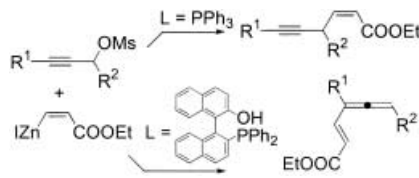
R. Gronheid, A. Stefan, M. Cotlet,
J. Hofkens, J. Qu, K. Müllen,
M. Van der Auweraer, J. W. Verhoeven,
F. C. De Schryver* ————— 4341–4346

Reversible Intramolecular Electron Transfer at the Single-Molecule Level

Regioselektivitätskontrolle

S. Ma,* G. Wang ————— 4347–4349

Regioselectivity Control by a Ligand Switch in the Coupling Reaction Involving Allenic/Propargylic Palladium Species

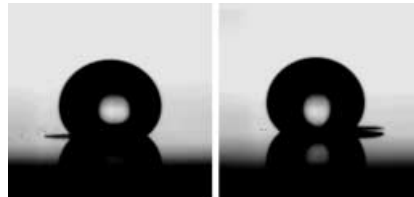


Ein Ligandenwechsel ändert die Regioselektivität der Pd-katalysierten Kupplung von Propargylmesylaten mit (*Z*)-2-Ethoxy-carbonylethenylzinkiodid oder Phenyl-zinkbromid: Mit PPh_3 als Ligand werden Alkine gebildet, mit 2-Diphenylphosphanyl-2'-hydroxy-1,1'-binaphthalin dagegen Allene.

Superhydrophobe Kohlenstoff-Filme

L. Feng, Z. Yang, J. Zhai, Y. Song, B. Liu, Y. Ma, Z. Yang,* L. Jiang,* D. Zhu ————— 4349–4352

Superhydrophobicity of Nanostructured Carbon Films in a Wide Range of pH Values



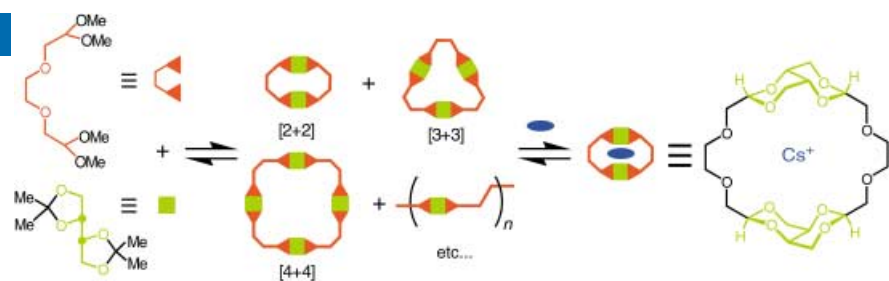
Nanostrukturierte graphitartige Kohlenstoff-Filme lassen sich mithilfe einer einfachen Pyrolysemethode herstellen. Ohne

Weiterbehandlung erhält man Filme, die nicht nur Wasser abweisen, sondern auch ätzende Flüssigkeiten wie saure oder basische Lösungen. Das Bild zeigt Wasertropfen mit pH-Werten von 1.07 (links) und 13.76 (rechts) im Kontakt mit einem nanostrukturierten Kohlenstoff-Film. Dies ist das erste Beispiel für Superhydrophobie über einen weiten pH-Bereich in Abwesenheit fluorhaltiger Verbindungen.

Dynamische kovalente Chemie

B. Fuchs, A. Nelson, A. Star, J. F. Stoddart,* S. Vidal ————— 4352–4356

Amplification of Dynamic Chiral Crown Ether Complexes During Cyclic Acetal Formation



Eine mehr als zehnfache Ausbeutesteigerung (auf > 95 %) wurde unter thermodynamischer Kontrolle bei der Synthese des gezeigten makropolycyclischen Polyethers ausgehend von einer dynamischen kombinatorischen virtuellen Bibliothek

erreicht. Bei der konventionellen Synthese unter kinetischer Kontrolle wurden nur < 8 % Ausbeute im Makropolycyclisierungsschritt erhalten, obwohl dasselbe Templat-Ion (Cs^+) verwendet wurde.

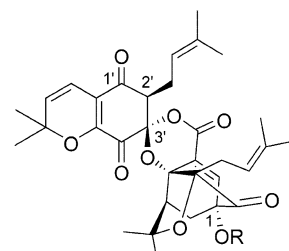


Naturstoffsynthesen

K. C. Nicolaou,* P. K. Sasman, H. Xu, K. Namoto, A. Ritzén ————— 4357–4361

Total Synthesis of 1-O-Methyllateriflorone

Im einzigartigen Spiroxalacton-Gerüst von Laterifloron (1) ist eine Prenyl-substituierte Dibenzochinoneinheit mit einem Trioxatetracyclotetradecan-System kombiniert. Der Schlüsselschritt der Synthese von O-Methyllaterifloron (2) ist eine Sequenz aus Claisen-Umlagerung und Diels-Alder-Reaktion, bei der das komplexe Tetradecan-System gebildet wird.



1 ($\text{R} = \text{H}$): Laterifloron
2 ($\text{R} = \text{Me}$): 1-O-Methyllaterifloron

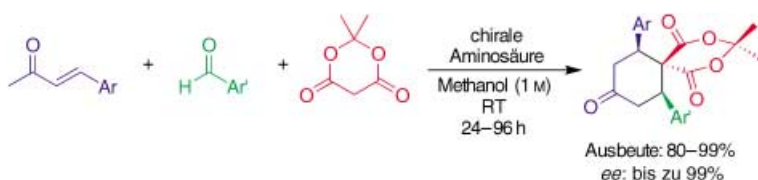
Es geht auch ohne Zinn: Eine Tandem-Radikalreaktion führt zu optisch aktiven α -Methylenlactonen wie **1**. Die Radikal-vermittelte Wasserstoffabstraktion von einem chiralen Acetal zu Beginn der Reaktion ist hochgradig stereoselektiv (siehe Schema). Das stereochemische Ergebnis einer solchen Reaktion hängt von ähnlichen Faktoren ab wie verwandte Cyclisierungen.



Stereoselektive Radikalreaktionen

P. Renaud,* F. Beauflis, L. Feray,
K. Schenk _____ 4362–4365

Diastereoselective Radical-Mediated Hydrogen-Atom Abstraction



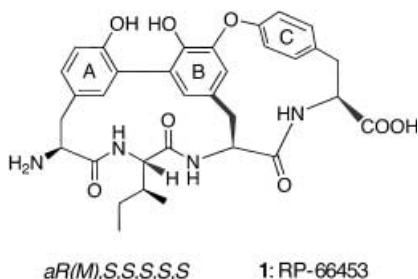
Die praktische und umweltschonende organokatalytische Synthese von optisch aktiven hochsubstituierten Spiro[5,5]undecan-1,5,9-trionen beruht auf der Umsetzung eines Aldehyds, eines Enons und der Meldrumschen Säure in Gegen-

wart einer katalytischen Menge einer chiralen Aminosäure (siehe Schema). Die Diels-Alder-Produkte werden als Diastereomere mit ausgezeichneten Ausbeuten und Enantiomerenüberschüssen erhalten.

Organokatalytische Dominoreaktionen

D. B. Ramachary, N. S. Chowdari,
C. F. Barbas III* _____ 4365–4369

Organocatalytic Asymmetric Domino Knoevenagel/Diels–Alder Reactions: A Bioorganic Approach to the Diastereospecific and Enantioselective Construction of Highly Substituted Spiro[5,5]undecane-1,5,9-triones

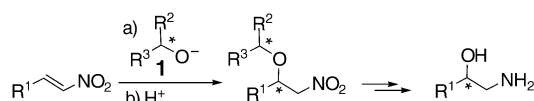


Die absolute Konfiguration des Naturstoffs RP-66453 (**1**) wurde durch Totalsynthese seines Atropdiastereomers und spektroskopische Studien beider Verbindungen zu *aR,S,S,S,S,S* bestimmt. Eine S_NAr -basierte cyclische Etherbildung und eine intramolekulare atropdiastereoselektive Suzuki-Miyaura-Kupplung wurden zum Aufbau des schwer zugänglichen bicyclischen A-B-O-C-Gerüsts von RP-66453 genutzt.

Naturstoffsynthesen

M. Bois-Choussy, P. Cristau,
J. Zhu* _____ 4370–4373

Total Synthesis of an Atropdiastereomer of RP-66453 and Determination of Its Absolute Configuration



Das „nackte Alkoxid“ **1** von (*S*)-6-Methyl- δ -Lactol addiert als chirales Hydroxid-Äquivalent in hoch diastereoselektiven Oxy-Michael-Additionen an Nitroalkene (siehe Schema). Dieser Substituent bewirkt eine ausgezeichnete stereo-

chemische Induktion und erweist sich auch als gute Schutzgruppe für die 1,2-Aminoalkohol-Produkte. $R^1 =$ Alkyl, Aryl, Furanyl, Thiophenyl; $R^2, R^3 = -(CH_2)_3 CHCH_3 O^-$.

Asymmetrische Oxy-Michael-Additionen

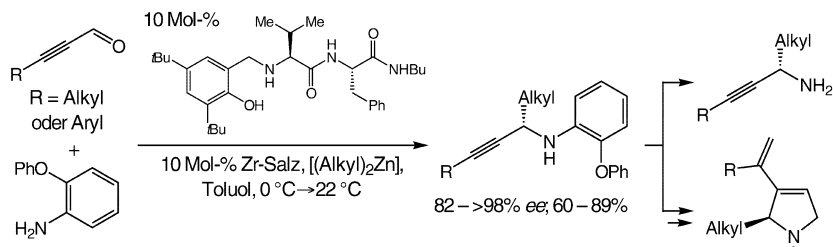
N. J. Adderley, D. J. Buchanan,
D. J. Dixon,* D. I. Lainé _____ 4373–4376

Highly Diastereoselective Oxy-Michael Additions of Enantiopure δ -Lactol Anions to Nitroalkenes: Asymmetric Synthesis of 1,2-Amino Alcohols

Synthese von Propargylaminen

L. C. Akullian, M. L. Snapper,*
A. H. Hoveyda* **4376–4379**

Three-Component Enantioselective Synthesis of Propargylamines through Zr-Catalyzed Additions of Alkyl Zinc Reagents to Alkynylimines



Chirale Aminosäure-Derivate werden als Liganden in der Zr-katalysierten enantioselektiven Dreikomponentensynthese von Propargylaminen eingesetzt (siehe

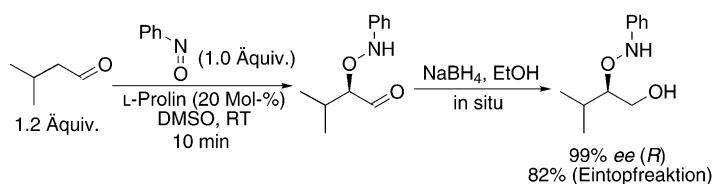
Schema). Die Reaktion liefert wichtige enantiomerenangereicherte Bausteine, die mit alternativen katalytischen Methoden nur schwer zugänglich sind.



Asymmetrische Katalyse

G. Zhong* **4379–4382**

A Facile and Rapid Route to Highly Enantiopure 1,2-Diols by Novel Catalytic Asymmetric α -Aminooxylation of Aldehydes



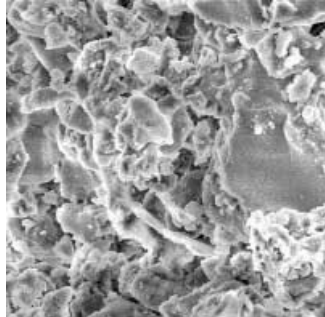
R- oder S-konfigurierte 1,2-Diol-Vorstufen entstehen in einer Eintopfreaktion in guten Ausbeuten (54–86 %) und mit hohen Enantioselektivitäten (94–99 % ee). Nach der L- oder D-Prolin-katalysierten α -

Aminooxylierung eines Aldehyds liefert eine NaBH_4 -Reduktion das Produkt (siehe Schema). Nitrosobenzol dient im ersten Schritt als Sauerstoffquelle.

Oberflächenreiches Aluminiumfluorid

E. Kemnitz,* U. Groß, S. Rüdiger,
C. S. Shekar **4383–4386**

Amorphe Metallfluoride mit außergewöhnlich großer spezifischer Oberfläche



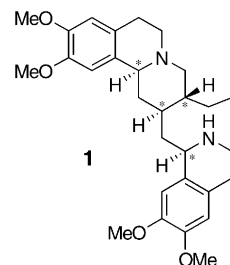
Supersauer, hochaktiv: Eine neue zweistufige Syntheseroute zu oberflächenreichen Metallfluoriden wird vorgestellt, mit der amorphe AlF_3 mit einer $\text{BET}(\text{N}_2)$ -Oberfläche von über $200 \text{ m}^2 \text{ g}^{-1}$ erhalten wurde (siehe SEM-Aufnahme). Dieses als HS- AlF_3 bezeichnete Material weist eine sehr hohe Lewis-Acidität und eine dementsprechend hohe katalytische Aktivität auf.

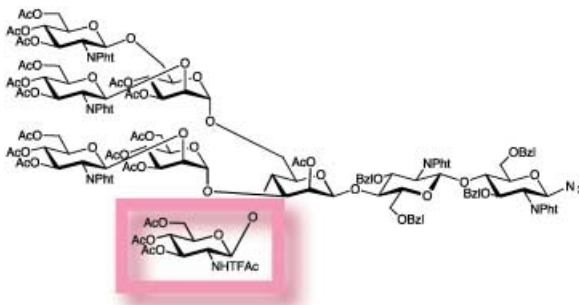
Kombinatorische Naturstoffsynthese

L. F. Tietze,* N. Rackelmann,
G. Sekar **4386–4389**

Katalysatorkontrollierte stereochemische Kombinatorik

Die stereochemische Diversität wird als neues Konzept der kombinatorischen Chemie für die Synthese nichtpeptidischer Wirkstoffe vorgestellt. Beispielsweise gelingt durch die Kombination einer Imin-Hydrierung in Gegenwart enantiomerenreiner Ru-Katalysatoren mit einer Domino-Reaktion der gezielte Aufbau von zwölf der sechzehn möglichen Stereoisomere von Emetin (**1**).





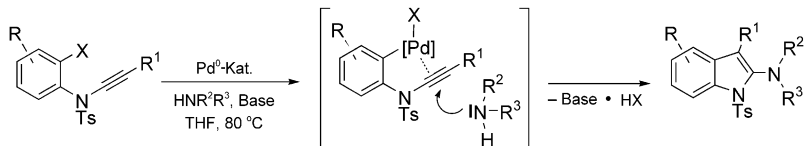
Antennäre Oligosaccharide

H. Weiss, C. Unverzagt* — 4389–4392

Hochverzweigte Oligosaccharide:
eine allgemeine Synthesestrategie
für multiantennäre N-Glycane
vom „Bisecting“-Typ

Darf's ein Zucker mehr sein? Nach einer allgemeinen Strategie mit Synthesebausteinen konnten erstmals sterisch sehr anspruchsvolle triantennäre N-Glycane

vom „Bisecting“-Typ aufgebaut werden.
Essenziell hierbei sind die kleine Trifluor-acetyl-Schutzgruppe sowie die späte Ein-führung des α -1,6-Arms (siehe Bild).



Konzeptionell neu ist die Synthese von 2-Aminoindolen durch Palladium-kataly-sierte Reaktion von N-Alkinylaniliden mit primären oder sekundären Aminen (siehe Schema). Ihr Schlüsselschritt ist die Bil-dung eines σ,π -gebundenen Palladacy-

clus, an dessen aktivierte Alkineinheit ein externes Stickstoffnucleophil unter Aufbau des Indolgerüsts addiert.
(X=I, Br; HNR²R³=primäres oder sekundäres Amin; Ts=Tosyl.)

Heteroanellierungen

B. Witulski,* C. Alayrac,
L. Tevzadze-Saeftel — 4392–4396

Palladium-katalysierte Synthese von 2-Aminoindolen durch Hetero-anellierung



Die so markierten Zuschriften sind nach Ansicht zweier Gutachter „very important papers“.



Die so markierten Zuschriften wurden wegen besonders hoher Aktualität oder extremer Konkurrenzsituation beschleunigt publiziert.

Verstärkung gesucht?

Sie brauchen Verstärkung für Ihr Top Team?
...Chemiker, Doktoranden, Laborleiter, Manager, Professoren,
Verkaufsrepräsentanten...

Nutzen Sie unseren Stellenmarkt für Fach- und Führungskräfte in Europa sowohl im Print-Medium als auch im Internet.

Angewandte Chemie

Anzeigenabteilung: Marion Schulz

Tel.: 0 62 01 – 60 65 65, Fax: 0 62 01 – 60 65 50

E-Mail: MSchulz@wiley-vch.de

Service

Stichwortregister — 4398

Autorenregister — 4399

Stellenanzeigen — 4255

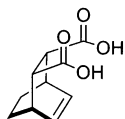
Vorschau — 4401

Berichtigung

Ein Leser hat uns darauf aufmerksam gemacht, dass in dem Aufsatz von **R. K. Castellano, F. Diederich und E. A. Meyer** in *Angew. Chem.* **2003**, 42, S. 1244–1287,

die Strukturformel der Verbindung **31b** in Abbildung 26 falsch ist. Die korrekte Formel ist hier gezeigt. Des Weiteren wurde dieser Rezeptor nicht, wie in der

zugehörigen Textpassage angegeben, von Dvornikovs und Smithrud, sondern, wie korrekt zitiert, von Thompson und Smithrud entwickelt.



31b



WILEY-VCH ist ein erfolgreicher und expandierender internationaler Verlag innerhalb der Wiley-Verlagsgruppe. Hauptansitz ist Weinheim an der Bergstraße.

Für unsere erfolgreiche Zeitschrift "Angewandte Chemie" suchen wir schnellstmöglich eine/n

Chemiker/in

der/die den Berufseinstieg als **Redakteur/in** in einem Wissenschaftsverlag realisieren möchte.

Zu den Aufgaben gehören

- die Manuskriptbearbeitung (Redigieren)
- die Umbruchkontrolle
- Pflege von Autorkontakten

Sie haben Ihr Chemiestudium erfolgreich mit Promotion abgeschlossen. Ihre Englischkenntnisse sind idealerweise bei längeren Auslandsaufenthalten perfektioniert worden. Sie sind versiert im Umgang mit MS-Office-Anwendungen und sorgfältiges Arbeiten macht Ihnen Spaß. Darüber hinaus sind Sie teamfähig, kommunikativ und bereit, sich überdurchschnittlich zu engagieren.

Interesse?

Dann bewerben Sie sich bitte bei:

WILEY-VCH Verlag GmbH & Co KGaA
Human Resources, Christiane Rabe
Boschstrasse 12
D-69451 Weinheim

e-mail: Crabe@wiley-vch.de

 **WILEY-VCH**

The place to be

<http://www.wiley-vch.de>